

**Nombre del Producto: Anticuerpo policlonal de conejo TGF $\beta$  RII****Nº de Catálogo: APRab18856**

Solo para uso en investigación.

**Resumen**

<b>Descripción</b>	Anticuerpo policlonal de conejo
<b>Huésped</b>	Conejo
<b>Aplicación</b>	WB,IHC,ICC/IF,ELISA
<b>Reactividad</b>	Humano, Ratón, Rata
<b>Conjugación</b>	No conjugado
<b>Modificación</b>	Sin modificar
<b>Isotipo</b>	IgG
<b>Clonalidad</b>	Policlonal
<b>Formato</b>	Líquido
<b>Concentración</b>	1 mg/ml
<b>Almacenamiento</b>	Hacer alícuotas y almacenar a -20°C (válido por 12 meses). Evitar ciclos de congelación/descongelación.
<b>Envío</b>	Bolsas de hielo
<b>Tampon</b>	Líquido en PBS que contiene 50% de glicerol, 0,5% de proteína protectora y 0,02% de conservante de nuevo tipo N.
<b>Purificación</b>	Purificación por afinidad

**Aplicación**

<b>Relación de Dilución</b>	WB 1:500-1:2000,IHC 1:100-1:300,ICC/IF 1:50-1:200,ELISA 1:10000-1:20000
<b>Peso Molecular</b>	65kDa

**Información del Antígeno**

<b>Nombre del Gen</b>	TGFBR2
<b>Nombres Alternativos</b>	TGFBR2; TGF-beta receptor type-2; TGFR-2; TGF-beta type II receptor; Transforming growth factor-beta receptor type II; TGF-beta receptor type II; TbetaR-II
<b>ID del Gen</b>	7048.0
<b>ID SwissProt</b>	P37173
<b>Inmunógeno</b>	El antisuero se produjo contra el péptido sintetizado derivado del receptor II del TGF- $\beta$ humano. Rango de AA: 91-140.

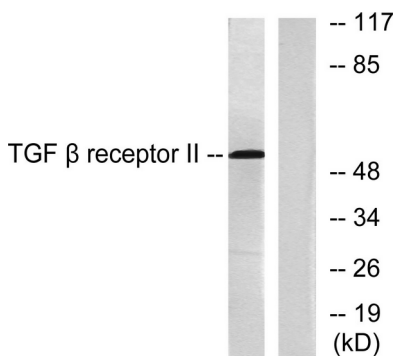
## Antecedentes

Este gen codifica un miembro de la familia de las proteínas quinasas Ser/Thr y de la subfamilia de receptores TGF $\beta$ . La proteína codificada es una proteína transmembrana con un dominio de proteína quinasa, forma un complejo heterodímero con otra proteína receptora y se une al TGF- $\beta$ . Este complejo receptor/ligando fosforila proteínas, que posteriormente entran al núcleo y regulan la transcripción de un subconjunto de genes relacionados con la proliferación celular. Las mutaciones en este gen se han asociado con el síndrome de Marfan, el síndrome de aneurisma aórtico de Loey-Deitz y el desarrollo de diversos tipos de tumores. Se han caracterizado variantes de transcripción con empalme alternativo que codifican diferentes isoformas. [proporcionado por RefSeq, julio de 2008], actividad catalítica: ATP + [proteína receptora] = ADP + fosfato de [proteína receptora], cofactor: magnesio o manganeso., enfermedad: los defectos en TGFBR2 son una causa de cáncer de esófago [MIM: 133239], enfermedad: los defectos en TGFBR2 son la causa del aneurisma aórtico torácico familiar tipo 3 (AAT3) [MIM: 610380].

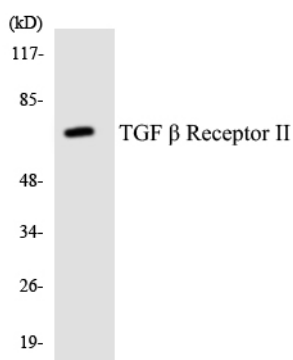
## Área de Investigación

MAPK\_ERK\_Crecimiento;MAPK\_G\_Proteína;Interacción citocina-receptor de citocina;Endocitosis;TGF- $\beta$ ;Unión adherente;Vías en el cáncer;Cáncer colorrectal;Cáncer de páncreas;Leucemia mieloide crónica;

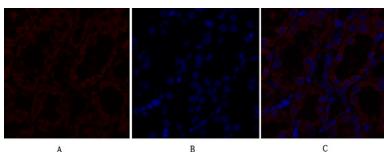
## Datos de Imagen



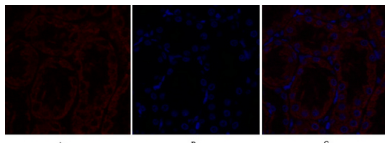
Análisis de inmunotransferencia de lisados de células HepG2 (65K), utilizando el anticuerpo contra el receptor II de TGF  $\beta$ . El carril derecho está bloqueado con el péptido sintetizado.



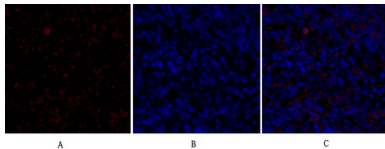
Análisis de transferencia Western de los lisados de células HT-29 utilizando el anticuerpo del receptor II de TGF  $\beta$ .



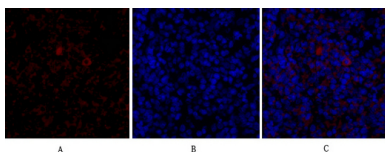
Análisis de inmunofluorescencia de tejido renal de rata. 1. El anticuerpo policlonal TGF $\beta$  RII (rojo) se diluyó a 1:200 (4 °C, durante la noche). 2. El anticuerpo secundario marcado con Cy3 se diluyó a 1:300 (temperatura ambiente, 50 min). 3. Imagen B: DAPI (azul) 10 min. Imagen A: Objetivo. Imagen C: Fusión de A+B.



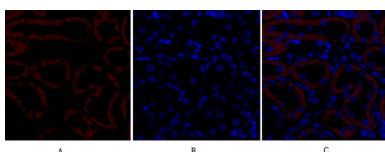
Análisis de inmunofluorescencia de tejido renal de rata. 1. El anticuerpo policlonal TGF $\beta$  RII (rojo) se diluyó a 1:200 (4 °C, durante la noche). 2. El anticuerpo secundario marcado con Cy3 se diluyó a 1:300 (temperatura ambiente, 50 min). 3. Imagen B: DAPI (azul) 10 min. Imagen A: Objetivo. Imagen B: DAPI. Imagen C: Fusión de A+B.



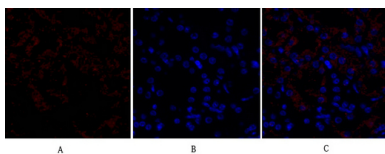
Análisis de inmunofluorescencia de tejido de bazo de rata. 1. El anticuerpo policlonal TGF $\beta$  RII (rojo) se diluyó a 1:200 (4 °C, durante la noche). 2. El anticuerpo secundario marcado con Cy3 se diluyó a 1:300 (temperatura ambiente, 50 min). 3. Imagen B: DAPI (azul) 10 min. Imagen A: Objetivo. Imagen B: DAPI. Imagen C: Fusión de A+B.



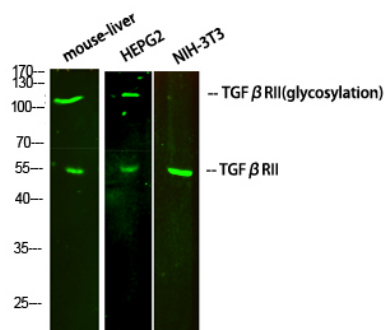
Análisis de inmunofluorescencia de tejido de bazo de rata. 1. El anticuerpo policlonal TGF $\beta$  RII (rojo) se diluyó a 1:200 (4 °C, durante la noche). 2. El anticuerpo secundario marcado con Cy3 se diluyó a 1:300 (temperatura ambiente, 50 min). 3. Imagen B: DAPI (azul) 10 min. Imagen A: Objetivo. Imagen B: DAPI. Imagen C: Fusión de A+B.



Análisis de inmunofluorescencia de tejido renal de ratón. 1. El anticuerpo policlonal TGF $\beta$  RII (rojo) se diluyó a 1:200 (4 °C, durante la noche). 2. El anticuerpo secundario marcado con Cy3 se diluyó a 1:300 (temperatura ambiente, 50 min). 3. Imagen B: DAPI (azul) 10 min. Imagen A: Objetivo. Imagen B: DAPI. Imagen C: Fusión de A+B.



Análisis de inmunofluorescencia de tejido renal de ratón. 1. El anticuerpo policlonal TGF $\beta$  RII (rojo) se diluyó a 1:200 (4 °C, durante la noche). 2. El anticuerpo secundario marcado con Cy3 se diluyó a 1:300 (temperatura ambiente, 50 min). 3. Imagen B: DAPI (azul) 10 min. Imagen A: Objetivo. Imagen B: DAPI. Imagen C: Fusión de A+B.



Análisis Western Blot de diversas células con anticuerpo policlonal de conejo TGF $\beta$  RII diluido a 1:1000 (4 °C durante la noche). Anticuerpo secundario: IgG de cabra anti-conejo IRDye 800 (diluido a 1:5000, 25 °C, 1 hora).